

---

# MRAC(Model Reference Adaptive Control)를 이용한 센서리스 벡터제어 속도추정기설계

최승현<sup>\*</sup> · 강대규<sup>\*</sup> · 박정환<sup>\*</sup> · 이성근<sup>\*</sup> · 김윤식<sup>\*</sup>

<sup>\*</sup>한국해양대학교

A speed estimator design using MRAC(Model Reference Adaptive Control) for  
Sensorless Vector Control

Seung-hyun Choi<sup>\*</sup> · Dae-gyu Kang<sup>\*</sup> · Jeung-hwan Park<sup>\*</sup>

Sung-geun Lee<sup>\*</sup> · Yoon-sik Kim<sup>\*</sup>

<sup>\*</sup>Korea Maritime University

E-mail : sadpoet@hanmail.net

## 요 약

본 논문에서는 센서리스 벡터제어를 위한 MRAC를 이용해 속도추정기를 설계한다. 이 속도추정기는 파라미터 변동에 강인하며, 그 속도값은 센서리스 벡터제어구현을 위해 필요한 속도정보로 피드백되어 사용된다. 컴퓨터시뮬레이션을 통해 그 타당성을 입증하였다.

## ABSTRACT

This paper proposed a speed estimator using MRAC(Model Reference Adaptive Control) for sensorless vector control. It is robust for parameter variation and the estimated speed is used as feedback in a vector control system. Computer simulation is presented to confirm the theoretical analysis.

## I. 서 론

유도전동기는 산업현장 및 각종전기 기기에 가장 많이 사용되는 원동기로써 기계적 구조가 견고하고, 보수관리가 쉬우며, 가격이 저렴하기 때문에 서보전동기로써의 사용에 대한 연구가 활발히 진행되고 있다. 서보전동기로는 종래 DC전동기가 많이 사용되지만, 요즘 수백W이상에서는 AC전동기 사용이 실용화되고 있다. 그 중에서도 수KW이상의 서보전동기에 있어서는 유도전동기가 중심적으로 사용되어지고 있다.<sup>[1]</sup>

유도전동기를 서보전동기로 이용하는 경우에, 제어는 보통 벡터제어에 의해 이루어진다. 벡터제어는 1차, 2차축의 전류, 자속 등의 전동기내의 제어신호를 벡터신호로 취해, 1차전류를 여자분 전류와 토크분 전류로 나눈 후에 이것을 독립적으로 제어하여 소정의 순시토크를 발생시키는 제어방식이다.<sup>[2]</sup>

유도전동기를 벡터제어하기 위해서는 속도제어

가 필수적이며 이러한 속도제어부로서 PI제어기를 사용하는 방식이 널리 채택되고 있다. 그러나 일정 이득의 PI제어를 기본으로 하는 속도제어계는 시스템의 기계정수인 관성, 마찰계수등의 파라미터가 운전중에 변하는 경우, 최적의 운전상태를 유지하기 위해 제어정수값을 적절하게 변화시켜야 한다. 또한 PI제어기는 부하 외란이나 파라미터변동에 매우 민감하기 때문에 속도 및 토크응답의 극점을 PI제어의 파라미터 범위내에서 설계하는 것은 한계가 있으므로 운전범위에 제한을 받게 된다.<sup>[3][4]</sup>

속도정보를 얻기 위해서 엔코더를 사용할 경우 속도검출의 정밀성과 검출기의 분해능이 제어시스템을 평가하는 중요한 척도가 되기 때문에 속도검출 기술의 고도화가 요구된다. 이 같은 속도센서는 시스템의 신뢰성을 낮게 하고 노이즈에 대한 특별한 주의를 요구하게 되며 고속모터드라이브와 같은 특별한 적용에 있어서는 속도센서의 취부 역시 문제가 된다.

본 논문에서는 센서리스 간접벡터제어 유도전동기에 대해 MRAC(Model Reference Adaptive Control)를 이용한 속도추정기를 설계한다. 이것은 유도전동기의 토크발생식에 기초해 속도추정식을 유도하여 파라미트릭 model식을 세우고, 이에 선형의 process식이 model식과 perfect model matching이 되게끔 primary controller를 구성하는 것이다.

MRAC에 근거해 primary controller를 구성하고 process의 출력이 안정한 영역에 있을 수 있게끔, model의 출력을 추종하도록 Lyapunov 안정도 이론을 적용하여, primary controller내의 파라미터 값을 가변한다.

기존의 시뮬레이션을 통해 PI제어와 제시된 방법의 특성을 비교, 분석하여 제안된 제어시스템의 유용성을 확인한다.

## II. 본 론

### 1. A speed estimator using MRAC

벡터제어에서는 속도에 대한 정보가 필요하다. 센서리스 벡터제어구현을 위한 속도 즉,  $\hat{\omega}_r$ (추정 속도)을 추정하기 위한 제어기를 MRAC(Model Reference Adaptive Control)이론을 적용해 구성한다. 먼저 plant를 modeling하고, 원하는 입력 지령 추적과 정상상태오차 제거의 목적으로 PI제어기를 설계하고 선형식으로 process식을 유도한다. 여기에 다시 구조적인 변동분을 고려해 model식을 세우고, model과 process 식을 이용해 MRAC이론을 적용하여, 변동분을 보상하기 위한 primary controller를 구성한다. 이 primary controller가 process의 출력이 안정한 영역으로 도달하도록 Lyapunov 안정도 이론을 바탕으로한 Adaptive Law를 구하고, 이를 적용한다. 그림 1은 일반적인 MRAC를 보인다.

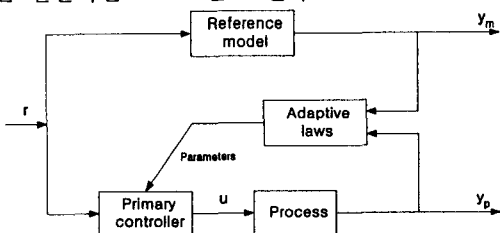


그림 1 General parallel MRAC scheme

유도전동기의 벡터제어시 회전자저항변동에 대한 보상이 이상적이라면 유도전동기의 응답특성은 직류전동기와 유사하게 되어 유도전동기의 토크발생은 직류전동기의 모델과 같이 단순화 시킬

수 있다. 관성모멘트  $J$ , 마찰계수  $B$ , 전동기 토크  $T_m$ , 부하토크  $T_l$ 인 유도전동기의 운동방정식은 다음 식 (2)와 같으며, 그림 2와 같은 블록도로 나타낼 수 있다.

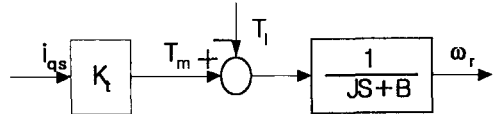


그림 2 plant의 블록도  
Fig 2 Block diagram of plant

$$T_m - T_l = J \frac{d\omega_r}{dt} + B\omega_r, \quad (1)$$

전동기 상수를  $K_t$  라 하면, 식 (1)은 아래와 같이 다시 쓰여진다.

$$K_t i_{qs} - T_l = J \frac{d\omega_r}{dt} + B\omega_r, \quad (2)$$

### A. Derivation of the process

디자인 목적과 적용제어이론을 적용하기 위해, 외란에 자유롭다고 가정하여 process를 선형으로 설계한다. 이렇게 해서 유도된 process식은 아래와 같고 블록도는 그림 3과 같이 나타낼 수 있다. process식 내에서 사용되는 수식은 model과 구분을 위해 아래첨자 p를 사용해 다시 표현하였다.

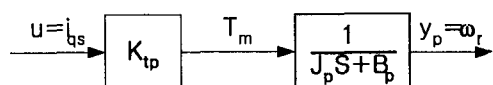


그림 3 process의 블록도  
Fig 3 Block diagram of process

process식의  $\omega_r$ 은 추정속도에 해당하므로  $\hat{\omega}_r$ , 와 같이 표현하고,  $i_{qs}$ 에 대한 출력을  $y_p$ 라 하자.

입력 ( $u = i_{qs}$ )에 대한 출력  $y_p$ 의 전달함수를 구하면,

$$\begin{aligned} \frac{y_p}{u} &= \frac{\hat{\omega}_r}{i_{qs}} = \frac{K_p}{J_p S + B_p} \\ y_p &= \frac{K_p}{J_p S + B_p} u \end{aligned} \quad (3)$$

식 (3)을 시뮬레이션을 위한 상태방정식으로 유도하기 위해,  $\frac{u}{J_p S + B_p} = x_1$ 라 하자.

$$J_p S x_1 + B_p x_1 = u$$

$$S x_1 = -\frac{B_p}{J_p} x_1 + \frac{1}{J_p} u$$

여기서  $\frac{B_p}{J_p} = a_p$ ,  $\frac{1}{J_p} = b_p$ ,  $Sx_1 = \dot{x}_1$  라 하면  
 $\dot{x}_1 = -a_p x_1 + b_p u$   
그러므로,  $y_p = K_p x_1$ 이다.

### B. Derivation of the model

유도전동기는 벡터제어법으로 선형 제어될 수 있다. 그러나 실제의 경우, 회전자시정수오차가 존재하며, 이것은 비선형 특성의 토오크 응답을 일으켜 토오크상수의 구조적 변동분을 발생시키고, 전동기에 연결되는 기계적 부하는 운전중 변화되며 부하관성의 변화는 전달함수의 계수에 큰 영향을 미쳐 선형 시불변시스템으로 표현이 불가능해진다. 벡터제어 유도전동기의 전달함수는 변동분이 존재하는 비선형시변 전달함수로 표현되어야한다. 그럼 4는 model의 블록도이고,  $J$ ,  $K_t$ ,  $B$ 를 구조적 변동분이 존재하는  $J_m$ ,  $K_{tm}$ ,  $B_m$ 식으로 바꾸어 model식을 유도하면 다음과 같다.

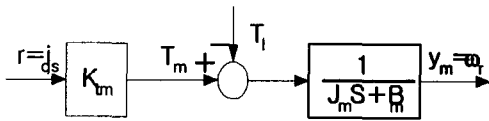


그림 4 model의 블록도  
Fig 4 Block diagram of model

입력에 대한 출력의 전달함수로 나타내면

case1:  $T_t = 0$  일 때

$i_{qs}$ 에 대한 출력을  $y_{m1}$ 으로 두고,  $T_t$ 에 대한 출력을  $y_{m2}$ 라 하면,  $y_p = y_{m1} - y_{m2}$ 이다.

먼저 입력( $r = i_{qs}$ )에 대한 출력  $y_{m1}$ 의 전달함수를 구하면,

$$\frac{y_{m1}}{r} = \frac{\omega_r}{i_{qs}} = \frac{K_{tm}}{J_m S + B_m}$$

$$y_{m1} = \frac{K_{tm}}{J_m S + B_m} r \quad (4)$$

식 (4)를 시뮬레이션을 위한 상태방정식으로 유도하기 위해,  $\frac{r}{J_m S + B_m} = x_2$ 라 하자.

$$J_m S x_2 + B_m x_2 = r$$

$$S x_2 = -\frac{B_m}{J_m} x_2 + \frac{1}{J_m} r$$

$$\text{여기서 } \frac{B_m}{J_m} = a_m, \frac{1}{J_m} = b_m, S x_2 = \dot{x}_2 \text{ 라}$$

하면

$\dot{x}_2 = -a_m x_2 + b_m r$   
그러므로,  $y_{m1} = K_{tm} x_2$ 이다.

입력( $T_t$ )에 대한 출력  $y_{m2}$ 의 전달함수를 구하면,

$$\frac{y_{m2}}{T_t} = \frac{\omega_r}{T_t} = \frac{1}{J_m S + B_m}$$

$$y_{m2} = \frac{1}{J_m S + B_m} T_t \quad (5)$$

식 (5)를 시뮬레이션을 위한 상태방정식으로 유도하기 위해,  $\frac{T_t}{J_m S + B_m} = x_3$ 라 하자.

$$J_m S x_3 + B_m x_3 = T_t$$

$$S x_3 = -\frac{B_m}{J_m} x_3 + \frac{1}{J_m} T_t$$

여기서  $\frac{B_m}{J_m} = a_m$ ,  $\frac{1}{J_m} = b_m$ ,  $S x_3 = \dot{x}_3$  라 하면  $\dot{x}_3 = -a_m x_3 + b_m T_t$

그러므로,  $y_{m2} = x_3$ 이다.

결론적인 출력  $y_m = y_{m1} - y_{m2}$ 는 아래와 같다.

$$y_m = K_{tm} x_2 - x_3 \quad (6)$$

여기서, 전동기 상수  $K_{tm}$ 은 간접벡터시 전류와 자속제어가 완전하게 이루어진다고 가정하면, 전동기 토크  $T_m$ 이 다음과 같으므로, 그 값을 구할 수 있다.

$$T_m = \frac{3}{2} \frac{P}{2} \frac{L_m}{L_r} \lambda_{dr} i_{qs}$$

$T_m = K_t i_{qs}$ 이므로,  $K_{tm}$ 은  $\frac{3}{2} \frac{P}{2} \frac{L_m}{L_r} \lambda_{dr}$ 이다.

### C. Primary controller design

실제 model의 변동분을 보상하는 제어기를 설계한다.  $u = \phi^T w$ . 여기서 우리가 이용할 수 있는 양은 입력과 출력이므로, 완전한 process 상태ベ터를 알 수 없다. 이에 따라 우리가 실제 사용할 수 있는 출력에러( $e = y_p - y_m$ )에 대한 보상이 필요하게 된다. 그러므로, Monopoli(1974)가 제시한 augmented error method에 의해 시그널을 확장한다.

$$w^T = (r, w_1, y_p, w_2) \Rightarrow \text{signal vector}$$

$$\theta = \phi^T = (k_0, c^T, d_0, d^T)$$

$\Rightarrow$  controller parameter vector

$$\theta^* \Rightarrow \text{correct parameter vector}$$

$$\phi = \theta - \theta^* \Rightarrow \text{parameter error vector}$$

확장된 시그널과 파라메터에 대한 제어기를 구성하면 아래와 같이 된다.

$$\therefore u = k_0 r + c w_1 + d_0 y_p + d w_2 \quad (7)$$

D. Derivation of the adaptive law using Lyapunov's stability theory<sup>[5]</sup>

MRAC의 비선형, 시변특성 때문에, 선형안정도 분석은 적용할 수 없다. 적용시스템의 전체적인 안정도를 증명하기 위해 잘 알려진 방법인 Lyapunov's direct method(Parks,1966)을 사용한다.

Lyapunov's method는 만약 Lyapunov함수

$V(x)$ 가 아래조건을 만족한다면, 시스템이 일양 점근안정평형  $x=0$ 을 가짐을 설명한다.

$$V(x) > 0 \quad \text{for } x \neq 0 \quad (\text{positive definite})$$

$$\dot{V}(x) < 0 \quad \text{for } x \neq 0 \quad (\text{negative definite})$$

Lyapunov 함수는  $V = e^T P e + \phi^T \Gamma^{-1} \phi$  와 같고, 도함수  $\dot{V}(x)$ 를 구하면 식 (8)과 같다.

$$\begin{aligned} \dot{V} = & e^T (A_m^T P + PA_m) e \\ & + 2b_m^T P e \phi^T (L^{-1} w) + 2\phi^T \gamma^{-1} \dot{\phi} \end{aligned} \quad (8)$$

식 (8)에서 오른쪽의 두식을 영으로 놓으면 식 (9)와 같은 Adaptive law를 구할 수 있다.

$$\dot{\theta} = \dot{\phi} = -\Gamma(L^{-1} w) \varepsilon \quad (9)$$

Lyapunov's stability theory을 적용해 구한 adaptive law를 이용해 primary controller내의 파라메터 값들을 변경한다.

$$\begin{aligned} \dot{\theta} = \dot{\phi} &= \begin{pmatrix} \dot{k}_0 \\ \dot{c} \\ \dot{d}_0 \\ \dot{d} \end{pmatrix} \\ &= - \begin{pmatrix} \gamma_0 & 0 & 0 & 0 \\ 0 & \gamma_1 & 0 & 0 \\ 0 & 0 & \gamma_2 & 0 \\ 0 & 0 & 0 & \gamma_3 \end{pmatrix} \begin{pmatrix} L^{-1} r \\ L^{-1} w_1 \\ L^{-1} y_p \\ L^{-1} w_2 \end{pmatrix} \varepsilon \end{aligned}$$

$$\therefore \dot{k}_0 = -\gamma_0 L^{-1} r \varepsilon$$

$$\dot{c} = -\gamma_1 L^{-1} w_1 \varepsilon$$

$$\dot{d}_0 = -\gamma_2 L^{-1} y_p \varepsilon$$

$$\dot{d} = -\gamma_3 L^{-1} w_2 \varepsilon$$

## 2. Sensorless vector control

속도 추정치를 벡터제어계로 피드백시켜 센서리스 벡터제어시스템을 구현한다.

원하는 입력지령추적과 정상상태오차제거의 목적으로 PI제어기를 설계한다. PI제어 방식에 있어

무엇보다 중요한 것은 각항의 계수의 선택이다. 이를 위해 잘 알려진 계수 투닝방법으로 스텝응답법과 한계감도법(Ziegler Nichols) 있다. 여기서는 한계감도법을 사용해서 값을 선정한 뒤 계속적인 투닝으로 최적의 계수를 찾아내기 위해 미세조정을 행하였다.

한계감도법의 특징은 비례동작만으로 값을 구한다는 것이다. 구하는 방법으로는 제어루프가 한계진동이 되도록 비례계수를 늘려간다. 그때의 최대값과 진동주파수  $\omega_m$ 을 계측해서 Ziegler Nichols가 만든 산술표를 적용해 구한다. 그 값은 아래와 같다.

$$K_p = 0.6 K_{pn}$$

$$K_i = K_p \frac{\omega_m}{\pi}$$

$$K_d = \frac{K_p \pi}{4} \omega_m$$

MRAC를 이용한 속도제어계는 아래 그림과 같다.

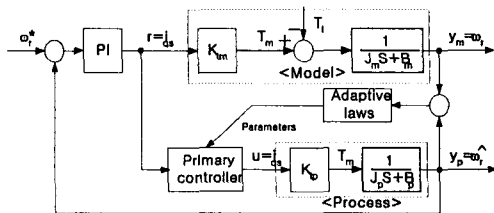


그림 5 MRAC를 이용한 속도제어  
Fig 5 Speed control system using MRAC

그림 6은 MRAC를 이용한 속도추정기를 실제 벡터제어시스템에 부과한 전체블록도이다.

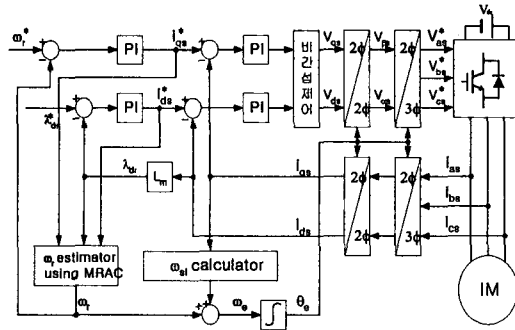


그림 6 시스템 제어 블록도  
Fig 6 Schematic diagram of indirect vector control system

## III. 시뮬레이션 및 고찰

본 논문에서 제안한 MRAC를 이용한 속도추정기를 부가시킨 유도전동기의 간접백터구동 시스템의 블록도를 그림 6에 나타내었다. 추정속도를 계산하기 위한 MRAC부분, 전류제어, 비간섭제어 부분으로 구성되어 있다.

기준속도와 추정속도를 비교한 속도오차는 PI 제어기를 통하여 고정자에 인가할 토크발생을 위한 q축 전류를 발생시키며, 이 전류를 다시 MRAC를 이용한 속도추정기를 통해서 추정속도를 연산하여 속도제어계로 피드백된다. 그리고 d축, q축 지령전류는 전동기의 고정자에서 측정한 전류  $i_{ds}$ ,  $i_{qs}$ 와 비교하여 고정자 dq축 지령전류를 얻고 이에 다시 비간섭제어를 통해 상호간섭분을 제거하여 최종 고정자 dq축 지령전류를 얻는다. 이를 다시 상변환(2상/2상)을 통해 고정좌표계에 대한 지령치를 얻고, 2상/3상 변환하여 공간전압벡터스위칭을 결정할 고정자 3상전압을 얻는다.

시뮬레이션은 C언어로 작성하였으며, 모든 상수값은 전역변수로 선언하여 그 값을 쉽게 변동시킬 수 있게 했다. 시뮬레이션에 사용된 전동기 정격과 상수는 표 1에 나타내었다.

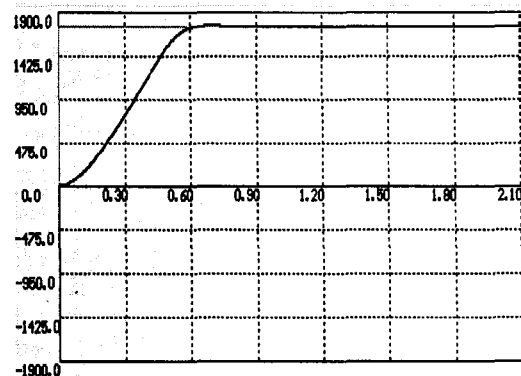
표 1 전동기 정격과 상수

Table 1 Ratings and constant of induction motor

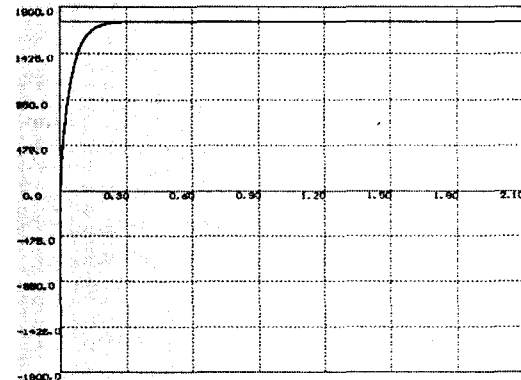
정격 출력	2.2KW(3HP)
정격 전압	220V
정격 전류	8.6A
극수 / 정격 속도	4/1740[rpm]
관성 모멘트(J)	0.0418[kg · m <sup>2</sup> ]
고정자 저항(Rs)	0.9210[Ω]
회전자 저항(Rr)	0.5830[Ω]
고정자인덕턴스(Ls)	0.0671[H]
회전자인덕턴스(Lr)	0.0671[H]
상호인덕턴스(Lm)	0.0650[H]

그림 7(a)는 기존의 PI제어기만을 사용해 정격 속도 1740[rpm]으로 전동기를 회전시킨 파형이다. 정상상태까지 도달시간이 600ms정도의 시간을 가진다. 그림 7(b)는 MRAC를 이용한 속도추정기에서 구한 속도추정치를 피드백시킨 파형으로 정상 상태까지 도달시간이 300ms정도의 시간을 가진다. 기존의 PI제어방법에 대한 값보다 아주 양호한 특성을 얻을 수 있었다.

그림 8은 500[rpm]으로 회전하다가 1초뒤에 다시 1000[rpm], 다시 1초뒤에 즉 2초의 지점에서 다시 1500[rpm]으로 가변시킨 속도파형을 보인다. 이 파형 역시 PI제어 보다 MRAC에 의한 응답특성이 양호함을 알 수 있다.

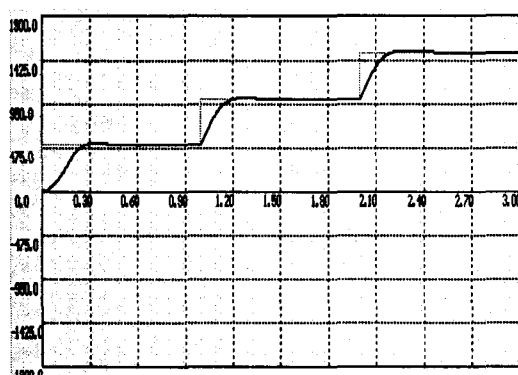


(a) PI Control

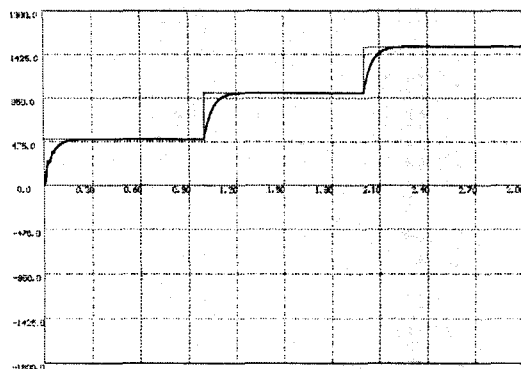


(b) MRAC

그림 7 정격속도 파형



(a) PI Control



(b) MRAC

그림 8 가변속도 파형

#### IV. 결 론

본 논문에서는 센서리스 벡터제어를 구현하기 위한 속도추정기를 설계하였다. 이 추정기는 MRAC이론을 바탕으로 구성되었다. 제안된 방법의 타당성을 입증하기 위해 시뮬레이션을 통해 확인해 본 결과 기존의 PI제어보다 속도추정에서 상당히 빠른 응답특성을 보임을 확인하였다.

앞으로의 과제는 실험을 통해 결과를 다시 확인해야 할 것이며, 본 논문에서는 파라메터 변동 분에 대한 보상을 하지 않았지만, 실제로 개인한 제어기를 설계하기 위해서는 파라메터 변동에 대한 보상을 행해야 할 것이다.

#### 참고문헌

- [1] 新中新二, 誘導形 サポモータの適応ベクトル制御, IEE Japan, Vol.117-D, No.8, pp.1024-1032, 1997
- [2] 新中新二, 横原則夫, 深澤英樹, 誘導機ベクトル制御のための統一的ベクトル解析 IEE Japan, Vol.117-D, No.8 pp.1024-1032 1993
- [3] B. D. Youn et al., "Robust Speed Control of Induction Motor Using Sliding Mode Torque Observer", IPEC Proc., pp 87-92, 1995
- [4] K Ohishi et al., "Robust Control of a DC Servo Motor Based on Linear Adaptive System", JIEE Trans., Vol. 108-D, No. 1, pp 39-45, 1988
- [5] S. Sastry, M. Bodon, "Adaptive Control: Stability, Convergence, and Robustness", Prentice-Hall, 1989